

# CHEMISTRY AND CHEMICAL ENGINEERING

---

Volume 2023 | Number 3

Article 8

---

March 2024

## SYNTHESIS AND STUDY OF THE COMPLEX COMPOUND OF COPPER(II) ACETYLACETONATE WITH 2-AMINO-1-METHYLBENZIMIDAZOLE

Daminbek ZIYATOV

*National University of Uzbekistan, Tashkent, Uzbekistan*, ziatovdamin@gmail.com

Kizlarkhon SIDDIKOVA

*Qarshi Engineering-Economic Institute, Karshi, Uzbekistan*, siddiqovaqizlarxon@gmail.com

Follow this and additional works at: <https://cce.researchcommons.org/journal>

---

### Recommended Citation

ZIYATOV, Daminbek and SIDDIKOVA, Kizlarkhon (2024) "SYNTHESIS AND STUDY OF THE COMPLEX COMPOUND OF COPPER(II) ACETYLACETONATE WITH 2-AMINO-1-METHYLBENZIMIDAZOLE," *CHEMISTRY AND CHEMICAL ENGINEERING*: Vol. 2023: No. 3, Article 8.

DOI: 10.34920/cce202338

Available at: <https://cce.researchcommons.org/journal/vol2023/iss3/8>

This Article is brought to you for free and open access by Chemistry and Chemical Engineering. It has been accepted for inclusion in CHEMISTRY AND CHEMICAL ENGINEERING by an authorized editor of Chemistry and Chemical Engineering. For more information, please contact [zuchra\\_kadirova@yahoo.com](mailto:zuchra_kadirova@yahoo.com).

## SYNTHESIS AND STUDY OF THE COMPLEX COMPOUND OF COPPER(II) ACETYLACETONATE WITH 2-AMINO-1-METHYLBENZIMIDAZOLE

Daminbek ZIYATOV<sup>1</sup> (ziatovdamin@gmail.com)

Kizlarkhon SIDDIKOVA<sup>2</sup> (siddiqovaqizlarxon@gmail.com)

<sup>1</sup>National University of Uzbekistan, Tashkent, Uzbekistan

<sup>2</sup>Qarshi Engineering-Economic Institute, Karshi, Uzbekistan

The aim of this work is the synthesis and study of the physicochemical properties of the complex compound of copper (II) acetylacetonate with a 2-aminobenzimidazole derivative. A heteroligand copper (II) complex compound containing acetylacetone and 2-amino-1-methylbenzimidazole was synthesized for the first time. The structure of the synthesized coordination compound was studied by SEM-EDX, IR spectroscopy, and thermogravimetric analysis. It has been established that in the complex 2-amino-1-methylbenzimidazole is coordinated monodentately to the copper ion through the heterocyclic nitrogen atom and, in this case, a complex of tetragonal-bipyramidal structure is formed.

**Keywords:** synthesis, ligand, copper (II) acetylacetonate, 2-amino-1-methylbenzimidazole, complex compound, IR spectroscopy, thermogravimetric analysis

## СИНТЕЗ И ИССЛЕДОВАНИЕ КОМПЛЕКСНОГО СОЕДИНЕНИЯ АЦЕТИЛАЦЕТОНАТА МЕДИ(II) С 2-АМИНО-1-МЕТИЛБЕНЗИМИДАЗОЛОМ

Даминбек ЗИЯТОВ<sup>1</sup> (ziatovdamin@gmail.com)

Кизлархон СИДДИКОВА<sup>2</sup> (siddiqovaqizlarxon@gmail.com)

<sup>1</sup>Национальный университет Узбекистана, Ташкент, Узбекистан

<sup>2</sup>Каршинский инженерно-экономический институт, Карши, Узбекистан

Целью данной работы является синтез и изучение физико-химических свойств комплексного соединения ацетилацетоната меди (II) с производным 2-аминобензимидазола. Впервые синтезировано гетеролигандное комплексное соединение меди (II), содержащее ацетилацетон и 2-амино-1-метилбензимидазол. Строение синтезированного координационного соединения изучено методами SEM-EDX, ИК спектроскопии и термогравиметрического анализа. Установлено, что в комплексе 2-амино-1-метилбензимидазол координируется к иону меди монодентатно через атом гетероциклического азота и при этом образуются комплекс тетрагонально-бипирамидального строения.

**Ключевые слова:** синтез, лиганд, ацетилацетонат меди (II), 2-амино-1-метилбензимидазол, комплексное соединение, ИК спектроскопия, термогравиметрический анализ

## MIS(II) ATSETILASETONATNING 2-AMINO-1-METILBENZIMIDAZOL BILAN KOMPLEKS BIRIKMASI SINTEZI VA TADQIQI

Daminbek ZIYATOV<sup>1</sup> (ziatovdamin@gmail.com)

Qizlarxon SIDDIKOVA<sup>2</sup> (siddiqovaqizlarxon@gmail.com)

<sup>1</sup>O'zbekiston Milliy universiteti, Toshkent, O'zbekiston

<sup>2</sup>Qarshi muhandislik-iqtisodiyot instituti, Qarshi, O'zbekiston

Ushbu ishning maqsadi mis (II) atsetilasetonatning 2-aminobenzimidazol hosilasi bilan kompleks birikmasini sintez qilish va fizik-kimyoviy xususiyatlarini o'rganishdan iborat. Ilk bor mis (II) ning atsetilaseton va 2-amino-1-metilbenzimidazolni o'z ichiga olgan geteroligandli kompleks birikmasi sintez qilindi. Sintez qilinigan koordinatsion birikmaning tuzilishi SEM-EDS, IQ spektroskopiya va termogravimetrik tahlil yordamida o'raniildi. Kompleksda mis ioni 2-amino-1-metilbenzimidazoldagi geterotsiklik azot atomi orqali monodenatnat tarzda koordinatsiyalanishi va tetragonal-bipiramida tuzilishdagi kompleks hosil bo'lishi aniqlangan.

**Kalit so'zlar:** синтез, лиганд, mis (II) atsetilasetonat, 2-амино-1-метилбензимидазол, комплексное соединение, ИК спектроскопия, термогравиметрический анализ

DOI: 10.34920/cce2023398

### Введение

$\beta$ -дикетон и его металлокомплексы широко используются в различных областях из-за уникальных структурных особенностей, химических функций и устойчивости к свету и теплу в качестве электролюминесцентных материалов [1]. Циклические  $\beta$ -дикетоны вызывают большой интерес и используются как хорошие лиганда [2] для хелатирования с металлами, в качестве промежуточных соединений в синтезе гетероциклов, таких как флавоны [3], бензодиазепин [4], пиразол [5], изоксазол [6] и пиридимидин [7] и триазол [8]. Известно, что  $\beta$ -дикетоны обладают кето-енольной таутомерией [9] и они имеют важные фармакофорные группы

пы ингибиторов ВИЧ-интегразы (1N) [10].

Многие биологически активные соединения, используемые в качестве лекарственных средств, обладают модифицированным фармакологическим и токсикологическим потенциалом при введении в виде соединений на основе металлов [11, 12]. Ацетилацетонаты переходных металлов обладают уникальной структурой спиновых состояний и расположением плоскоквадратным кислородных атомов. Это способствует образованию комплексных соединений с силой поля лигандов, оптимальной для взаимодействия с аксиальными молекулами,

находящимися как в триплетном, так и в метилбензимидазолом (МАВ).

синглетном состояниях [13]. Кроме того, ацетилацетонаты способны к взаимодействию с дистальными и проксимальными субстратами по  $\sigma$ - и  $\pi$ -механизмам [14, 15]. Легко растворяясь в липофильных средах, они могут катализировать внутреклеточные биохимические реакции [16]. Плоские системы с ионами переходных металлов способны осуществлять быстрые процессы с участием кислорода и других молекул, в то время как неплоские формы биологически важных молекул с ионами металла выступают в качестве катализаторов или субстратов. Эти особенности, а также возможность связывания ацетилацетонатов переходных металлов с азот и кислородсодержащими центрами, явились обоснованием предмета данного исследования.

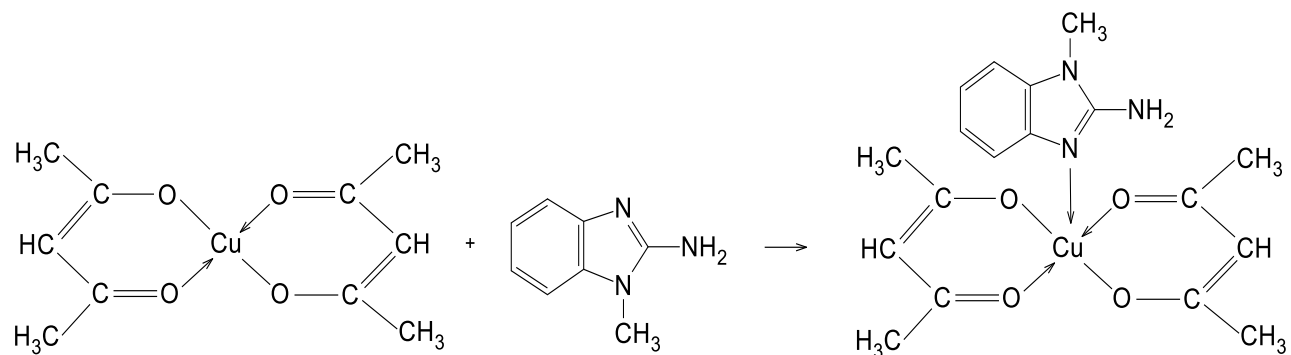
Целью данной работы является синтез и изучение физико-химических свойств комплексного соединения ацетилацетоната меди (II) ( $\text{Cu}(\text{acac})_2$ ) с 2-амино-1-

### Объекты и методы исследования

В работе были использованы ацетилацетонат меди (II) ( $\text{Cu}(\text{acac})_2$ ), синтезированный по методике [17] и лиганд – 2-амино-1-метилбензимидазол (МАВ) марки «х.ч.». В качестве растворителей использовали 96% этанол.

Синтез комплекса  $[\text{Cu}(\text{acac})_2 \cdot \text{MAV}]$  проводили при соотношении реагирующих веществ 1:1. К раствору 0,0147 г (0,1 ммоль) МАВ в 5 мл этанола по каплям при постоянном перемешивании добавляли раствор 0,0294 г (0,1 ммоль)  $\text{Cu}(\text{acac})_2$  в 5 мл хлороформе. После смешивания выпал зелёный осадок, который через 5 суток отфильтровывали под вакуумом, промывали два раза спиртом, высушивали на воздухе. Перекристаллизацию вели из ДМФА. Выход комплекса составил 82%.

Реакция комплексообразования идёт следующим образом:



Полученный комплекс хорошо растворяется в ДМФА, ацетонитриле, ацетоне, структуры лигандов, в частности, на поверхности хлороформе и мало растворяется в спирте, в воде не растворяется. скими лигандами приводят к изменению микроповерхности гранул. На поверхности гранул появляется отчетливый пик металла меди, что подтверждено EDX (рис. 1). Также на поверхности гранул появляется отчетливый пик металла меди, что подтверждает комплексообразованию меди с органическими лигандами.

В качестве методов исследования комплексного соединения использовались методы SEM-EDX (JSM-IT200LA, JEOL, Япония), термический анализ (TA Instruments, DTA-650, США), ИК (Spectrum Two, Perkin-Elmer, США) и Рaman спектроскопия (Horiba MacroRam, Франция).

### Результаты и обсуждение

На основании данных SEM и энергодисперсионного анализа можно заключить, что комплексообразование ионов меди с органиче-

скими лигандами приводит к изменению микроповерхности гранул. На поверхности гранул появляется отчетливый пик металла меди, что подтверждает комплексообразованию меди с органическими лигандами.

В ИК спектре исходного лиганда МАВ наблюдаются валентные симметричные ( $v_s$ ) и асимметричные ( $v_{as}$ ) колебания  $\nu\text{NH}_2$  в области 3452-3200  $\text{cm}^{-1}$ . Деформационные колебания  $\delta\text{NH}_2$  дают не характеристические полосы уменьшенной интенсивности в области 1615-1655  $\text{cm}^{-1}$  для первичной аминогруппы и 1546  $\text{cm}^{-1}$  – для вторичной. Широкие полосы при 3087-3034  $\text{cm}^{-1}$

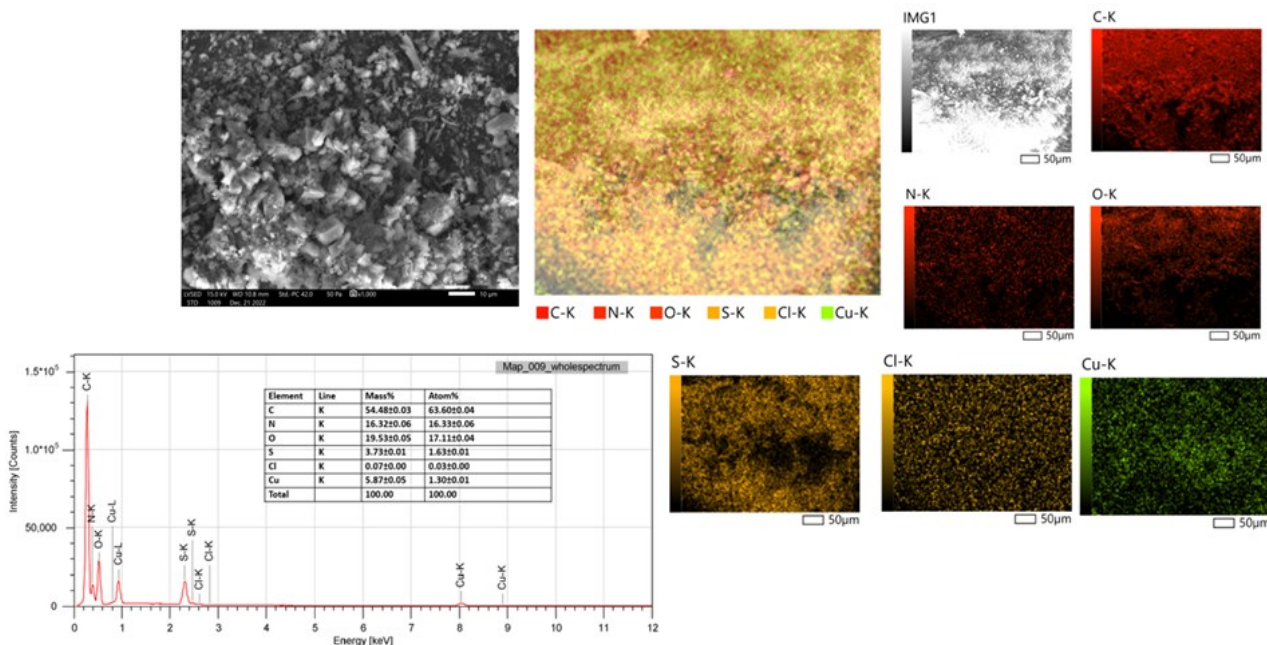


Рисунок 1. Микроструктура комплексного соединения  $[\text{Cu}(\text{acac})_2\text{MAB}]$  и данные ЭДА.

относятся к валентным колебаниям групп  $\nu\text{CH}$ , а полоса при  $1595\text{-}1540\text{ cm}^{-1}$  - к гетероароматической системе  $\nu\text{C=N}$  групп.

Инфракрасные спектры лиганда МАВ имеют полосы при  $3450\text{-}3330\text{ cm}^{-1}$  и приблизительно  $1650\text{ cm}^{-1}$ , отнесенные к  $\nu(\text{NH}_2)$  и  $\delta(\text{NH}_2)$  бензимидазольного кольца соответственно. Появление полосы около  $1550\text{ cm}^{-1}$  может быть отнесено к колебаниям  $\nu(\text{C=N})$ . Замещенная фенильная группа демонстрирует кольцевые колебания при  $1485\text{-}1454\text{ cm}^{-1}$  и  $740\text{-}725\text{ cm}^{-1}$ . Асимметричное валентное колебание связи  $\text{C-N}$  наблюдается в ИК спектре при  $1042\text{ cm}^{-1}$ . Полосы, наблюдаемые между  $1144$  и  $1280\text{ cm}^{-1}$  относятся к деформационным колебаниям группы ( $\text{C-C-H}$ ). Кроме того, симметричное и асимметричное валентное поглощение  $\text{C=C}$  проявляется при  $1370\text{ cm}^{-1}$ . Средняя полоса, наблюдаемая при  $1470\text{ cm}^{-1}$  в ИК спектре, относится к колебаниям связи  $\text{H-N}$ .

В комплексе  $[\text{Cu}(\text{acac})_2\text{MAB}]$  почти все указанные выше частоты колебаний целом сохранились, однако частично сместились и изменили интенсивность и форму (рис. 2). Основное изменение произошло в группе  $\nu(\text{C=N})$  в гетероцикле, сдвинувшейся до  $25\text{-}30\text{ cm}^{-1}$ . Следует отметить, что наличие интенсивных колебательных линий в области  $1650\text{-}1550\text{ cm}^{-1}$  комплексных соединений может относиться к валентным колебаниям группы  $\text{C=N}$  в гетероцикле МАВ.

Таким образом, анализ ИК спектров

синтезированного комплекса свидетельствует о входжении молекулы 2-амино-1-метилбензимидазола в координационную сферу комплекса, что подтверждается наличием характеристических полос поглощения амино-бензимидазола в ИК спектре и соответствующих смещений полос. При этом полидентатный гетероцикл МАВ при комплексообразовании выступает, как монодентатный лиганд. Дополнительным доказательством образования координационной связи служит появление полос поглощения при  $422\text{-}452\text{ cm}^{-1}$  в ИК спектре комплекса, отсутствующих в ИК спектре лиганда МАВ, отнесенных согласно [18] к валентным колебаниям связей  $\text{N-M}$ , что свидетельствует о координации к металлу.

Анализ кривой динамического термогравиметрического анализа (ДТГА) комплекса  $[\text{Cu}(\text{acac})_2\text{MAB}]$  показывает (рис. 3), что крияя ДТГА имеет место в основном в 3-х диапазонах интенсивных температур разложения. Температура начала разложения комплексного соединения составляет  $194\text{ }^{\circ}\text{C}$ . Диапазон разложения 1 соответствует температуре  $160\text{-}225\text{ }^{\circ}\text{C}$ , при этом потеря массы составляет  $35,59\%$ . Диапазон разложения 2 соответствует температуре  $230\text{-}320\text{ }^{\circ}\text{C}$  и при этом при этом потеря массы составляет  $16,51\%$ . Анализ показывает, что в третьем интервале разложения ( $325\text{-}400\text{ }^{\circ}\text{C}$ ) происходит более интенсивный процесс разложения. Потеря массы в этом диапазоне составляет  $25,99\%$ . В результате дериватогра-

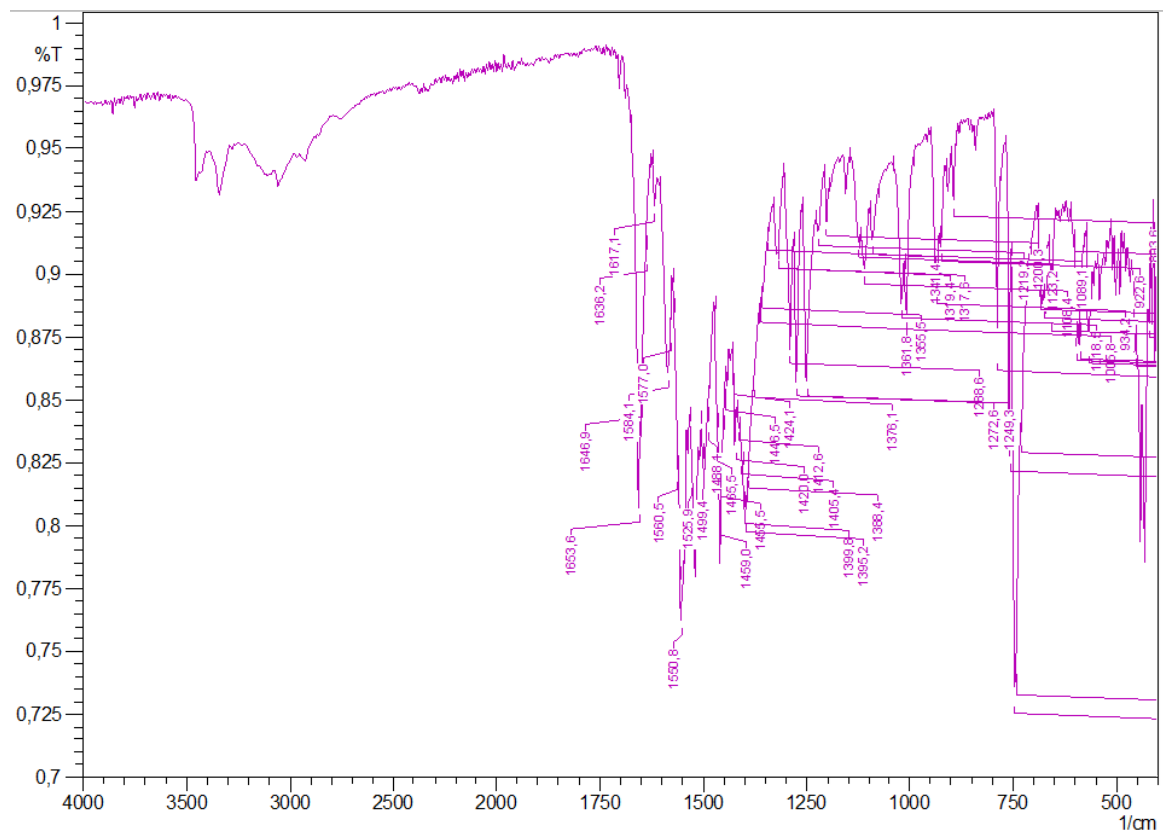


Рисунок 2. ИК спектр комплекса  $[\text{Cu}(\text{acac})_2\text{MAB}]$ .

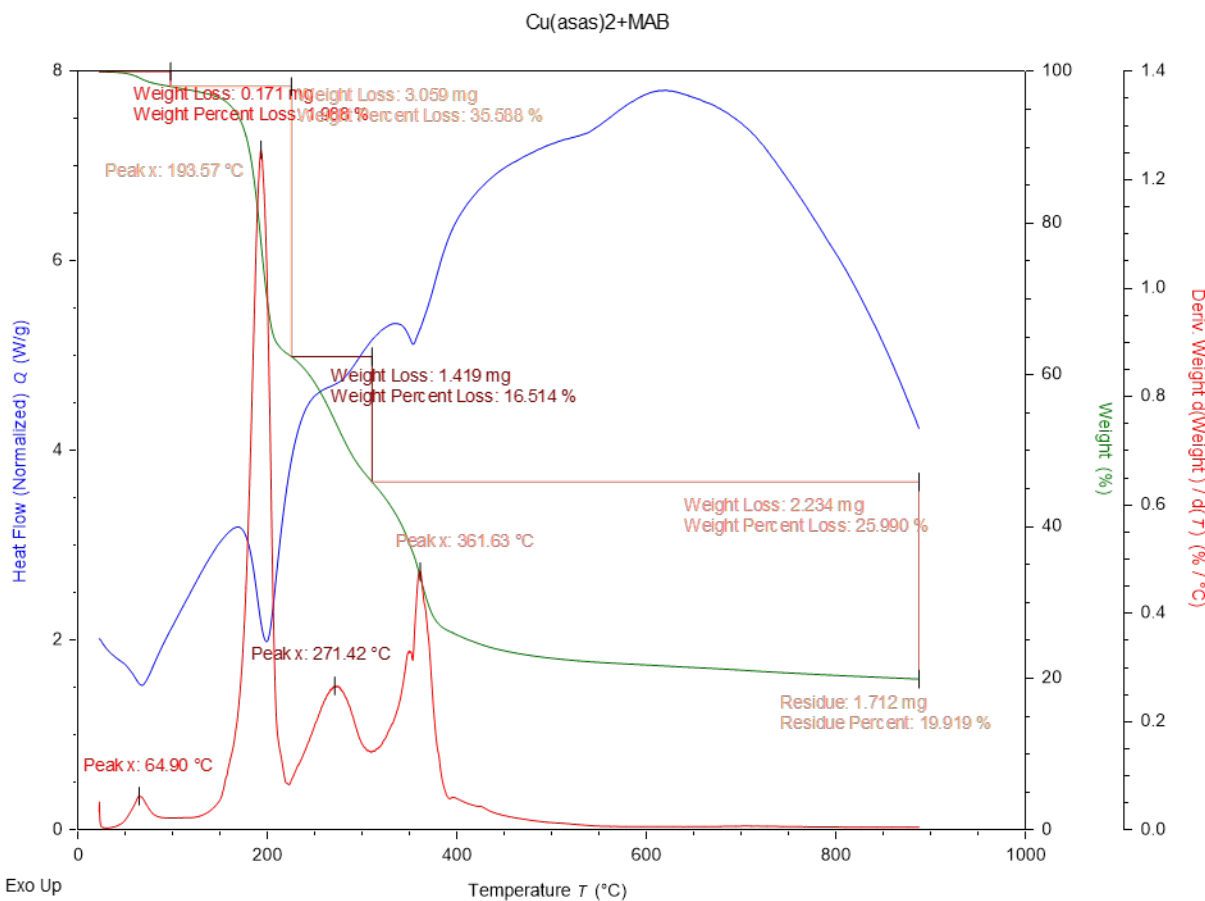


Рисунок 3. Дериватограмма комплекса  $[\text{Cu}(\text{acac})_2\text{MAB}]$ .

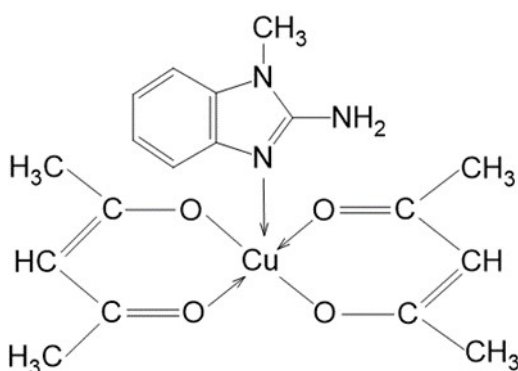
физических исследований основная потеря массы происходит в диапазоне 160-800 °C, при этом теряется 98,01% основной массы.

Таким образом, дериватографическое исследование комплексов показывает, что термическое разложение комплекса является сложным многостадийным процессом, и оно происходит ступенчато с образованием промежуточных продуктов. Выделение продуктов разложения каждого соединения происходит в сравнительно узком температурном интервале. Остаток от разложения комплекса представляет собой оксид меди.

### Заключение

На основание физико-химических исследований синтезированного комплексного

соединения установлена, что молекула МАВ взаимодействует с Cu(acac)<sub>2</sub> монодентатно и при этом образуется комплекс тетрагонально-бипирамидального строения:



### REFERENCES

1. Nehra K. et al. Lanthanides  $\beta$ -diketonate complexes as energy-efficient emissive materials: A review. *Journal of molecular structure*, 2022, 1249, 131531. DOI: 10.1016/j.molstruc.2021.131531.
2. Aromí G., Gamez P., Reedijk J. Poly beta-diketones: Prime ligands to generate supramolecular metalloclusters. *Coordination Chemistry Reviews*, 2008, 252/8-9, 964-989. DOI: 10.1016/j.ccr.2007.07.008
3. Tang L. et al. A Novel Approach to the Synthesis of 6-Amino-7-hydroxy-flavone. *Molecules*, 2004, 9/10, 842-848. DOI: 10.3390/91000842.
4. Kumar R., Joshi Y. C. Synthesis, spectral studies and biological activity of 3H-1, 5-benzodiazepine derivatives. *Arkivoc*, 2007, 13, 142-149.
5. Heller S.T., Natarajan S.R. 1, 3-Diketones from acid chlorides and ketones: a rapid and general one-pot synthesis of pyrazoles. *Organic letters*, 2006, 8/13, 2675-2678. DOI: 10.1021/o1060570p.
6. Simoni D. et al. Structure–activity relationship studies of novel heteroeretinoids: Induction of apoptosis in the HL-60 cell line by a novel isoxazole-containing heteroeretinoid. *Journal of Medicinal Chemistry*, 1999, 42/24, 4961-4969. DOI: 10.1021/jm991059n.
7. Kuzueva O.G. et al. First Example of the Synthesis of Di (fluoroalkyl)-substituted Pyrimidines. *Chemistry of Heterocyclic compounds*, 2001, 37, 1130-1135. DOI: 10.1023/A:1013235901570
8. Alekseev V.V., Zelenin K.N., Yakimovich S.I. Synthesis of pyrazole, 1, 2, 4, 5-tetrazine, and 1,2,4-triazole derivatives from thiocarbonohydrazides and beta-dicarbonyl compounds. *Russian Journal of Organic Chemistry*, 1995, 31/6, 868-873.
9. Sloop J.C. et al. Keto-enol and enol-enol tautomerism in trifluoromethyl- $\beta$ -diketones. *Journal of fluorine chemistry*, 2006, 127/6, 780-786. DOI: 10.1016/j.jfluchem.2006.02.012
10. Tchertanov L., Mouscadet J.F. Target recognition by catechols and  $\beta$ -ketoenols: Potential contribution of hydrogen bonding and Mn/Mg chelation to HIV-1 integrase inhibition. *Journal of medicinal chemistry*, 2007, 50/6, 1133-1145. DOI: 10.1021/jm061375j.
11. Tabassum S. et al. DNA interaction studies of new nano metal based anticancer agent: validation by spectroscopic methods. *Nanotechnology*, 2010, 21/19, 195102. DOI: 10.1088/0957-4484/21/19/195102
12. Arbaoui A. et al. Bimetallic copper (II) and zinc (II) complexes of acyclic Schiff base ligands derived from amino acids. *Inorganica Chimica Acta*, 2011, 365/1, 96-102. DOI: 10.1016/j.ica.2010.08.043
13. Reinen D., Atanasov M., Lee S.L. Second-sphere ligand field effects on oxygen ligator atoms and experimental evidence – the transition metal–oxygen bond in oxidic solids. *Coordination chemistry reviews*, 1998, 175/1, 91-158. DOI: 10.1016/S0010-8545(98)00181-7
14. Pritchard B., Autschbach J. Theoretical investigation of paramagnetic NMR shifts in transition metal acetylacetone complexes: Analysis of signs, magnitudes, and the role of the covalency of ligand–metal bonding. *Inorganic Chemistry*, 2012, 51/15, 8340-8351. DOI: 10.1021/ic300868v
15. Tocher J.H., Fackler Jr.J.P. Electrochemical investigations of several transition metal tris (acetylacetone) complexes. *Inorganica Chimica Acta*, 1985, 102/2, 211-215. DOI: 10.1016/S0020-1693(00)86761-4.
16. Sunitha M., Kumar D., Divyashree B.R., Geetha S., Shilpa P.V., Kengaiah J. Synthesis, characterization and biological activity of 2,2'-(6-methylpyrimidine-2, 4-diyl) disulfanediyl bis (1, 3-benzothiazole) and their Cu (II), Ni (II) complexes. *Journal of Advanced Scientific Research*, 2021, 12/1, Suppl 1, 197-203.
17. Conradie J. Bis (acetylacetone) copper (II)–structural and electronic data of the neutral, oxidized and reduced forms. *Data in brief*, 2019, 26, 104511. DOI: 10.1016/j.dib.2019.104511.
18. Nakamoto K. *Infrared and Raman Spectra of Inorganic and Coordination Compounds*. Handbook of Vibrational Spectroscopy. John Wiley & Sons, 2006. 1892.